

Giovanna Girotto - 11803416  
Vittor Braide Costa - 11806920

# **Relatório EP3 MAP3121 - Modelagem de um Sistema de Resfriamento de Chips**

São Paulo, SP

Julho, 2022

Giovanna Girotto - 11803416  
Vittor Braide Costa - 11806920

## **Relatório EP3 MAP3121 - Modelagem de um Sistema de Resfriamento de Chips**

Relatório da Tarefa 3 - *Modelagem de um Sistema de Resfriamento de Chips* proposto pela disciplina MAP3121 - Métodos Numéricos e Aplicações

Escola Politécnica da Universidade de São Paulo

São Paulo, SP

Julho, 2022

# Lista de ilustrações

Figura 1 – Validação para $f(x) = Q(x) = 12x(1 - x) - 2$ . . . . .	12
Figura 2 – Erro em função do passo . . . . .	12
Figura 3 – Validação para $f(x) = Q(x) = (x - 1)(e^{-x} - 1)$ . . . . .	13
Figura 4 – Erro em função do passo . . . . .	13
Figura 5 – $T(x)$ para $Q(x)$ constante e sem resfriamento . . . . .	14
Figura 6 – $T(x)$ para $Q(x)$ constante . . . . .	15
Figura 7 – $T(x)$ para $Q(x)$ gaussiano e sem resfriamento . . . . .	16
Figura 8 – $T(x)$ para $Q(x)$ gaussiano e com resfriamento . . . . .	17
Figura 9 – $T(x)$ para $Q(x)$ gaussiano e com resfriamento . . . . .	17
Figura 10 – $T(x)$ com $k(x)$ variável e $Q(x)$ constante . . . . .	18
Figura 11 – $T(x)$ com $k(x)$ variável e $Q(x)$ gaussiano . . . . .	19

# Sumário

<b>1</b>	<b>INTRODUÇÃO</b>	<b>4</b>
<b>2</b>	<b>EQUAÇÃO DO CALOR</b>	<b>5</b>
2.1	Considerações e Simplificações adotadas	5
<b>3</b>	<b>MÉTODO DE ELEMENTOS FINITOS</b>	<b>6</b>
3.1	Condições de contorno não-homogêneas	7
<b>4</b>	<b>TAREFA</b>	<b>9</b>
4.1	Elaboração do código	9
4.2	Validação	10
4.3	Equilíbrio com forçantes de calor	14
4.3.1	Caso 1: Sem resfriamento e $Q = \text{cte}$	14
4.3.2	Caso 2: Geração e dissipação de calor constantes	15
4.3.3	Caso 3: Calor gerado dado por uma gaussiana e sem resfriamento	16
4.3.4	Caso 4: Geração e dissipação de calor dados por gaussianas	16
4.4	Equilíbrio com variação de material	18
<b>5</b>	<b>CONCLUSÃO</b>	<b>20</b>
	<b>APÊNDICES</b>	<b>21</b>
	<b>APÊNDICE A – CÓDIGO COMPLETO</b>	<b>22</b>

# 1 Introdução

A prática de engenharia envolve o desenvolvimento e fabricação de diversos produtos que contribuem na solução de problemas concretos da sociedade. Assim sendo, para viabilizar uma boa produção e tornar tudo aquilo produzido eficiente e suficientemente duradouro, é necessário aplicar diversos conceitos científicos, como aspectos físicos, que influenciam no resultado final.

Nesse sentido, o presente trabalho toma como exemplo a necessidade de uma análise térmica de um chip de computador dado variadas condições de ambiente. Tal análise é fundamental, já que temperaturas muito elevadas podem danificar alguns componentes e torna o produto inoperável, fato indesejável para as boas práticas de engenharia.

Dado tal problema, realiza-se algumas modelagens matemáticas que simulam o processo de interesse. Para a análise térmica, deseja-se representar a distribuição de calor de um corpo e avaliar a evolução da temperatura. Para tanto, utiliza-se a Lei de Fourier, a qual é representada por uma equação diferencial.

Apesar de descrever fisicamente o sistema, a resolução de uma equação diferencial envolve alguns processos matemáticos que, em determinados casos, deixam a busca por uma solução analítica muito complexa. Dessa forma, métodos numéricos são introduzidos, já que, com a ajuda de um computador, a solução fica mais simplificada, mesmo com o surgimento de alguns erros.

Com isso, a proposta do trabalho consiste em modelar um sistema de resfriamento de chips aplicando métodos numéricos para lei de Fourier. Para esse propósito, utiliza-se da construção de um código em *Python* que possibilita a execução do método de Elementos Finitos para encontrar a distribuição de temperaturas no chip.

Posteriormente, para realizar uma validação, executa-se um teste com equações diferenciais de solução exata conhecida e avalia-se o erro obtido. Com o código validado, simula-se diversas condições de ambiente para encontrar a distribuição de temperatura do chip. Ao fim, é possível tomar algumas conclusões que possibilitam a fabricação do chip mantendo boas práticas de engenharia.

## 2 Equação do Calor

Nesta tarefa, estuda-se o comportamento da difusão térmica que ocorre em um chip de computador ao utilizar um resfriador colado em sua parte superior. Chama-se de  $L$  e  $h$  o comprimento e altura do chip, respectivamente, e considera-se o problema unidimensional em que a variação de temperatura ocorre somente na horizontal. Assim, a modelagem da distribuição de calor pode ser representada pela equação do calor proposta pela lei de Fourier:

$$\rho C \frac{\partial T(t, x)}{\partial t} = \frac{\partial}{\partial x} \left( k(x) \frac{\partial T(t, x)}{\partial x} \right) + Q(t, x) \quad (2.1)$$

Onde:

- $T(t, x)$  é a temperatura em uma posição  $x$  e instante  $t$
- $\rho$  é a densidade do material do chip
- $C$  é o calor específico do material
- $k$  é o parâmetro de condutividade térmica do material
- $Q$  é uma fonte de calor

Além disso, convencionou-se que o calor gerado pelo chip é  $Q_+$ , enquanto o calor retirado pelo resfriador é  $Q_-$ , o que resulta em  $Q = Q_+ - Q_-$ .

### 2.1 Considerações e Simplificações adotadas

Para a modelagem do problema, adotou-se uma série de simplificações:

Em primeiro lugar, assume-se que a troca de calor no topo do chip com o resfriador é perfeita e que não há troca com o ambiente na parte inferior. Ainda, considera-se que a temperatura nos extremos será exatamente a temperatura do ambiente externo.

Por fim, considera-se que o processador trabalha em regime constante, i. e., gera sempre a mesma quantidade de calor e o resfriador extrai a mesma quantidade de calor, de modo que a temperatura do chip tende a um estado estacionário.

Nesse caso:

$$\frac{\partial T(t, x)}{\partial t} = 0 \Rightarrow \boxed{-\frac{\partial}{\partial x} \left( k(x) \frac{\partial T(x)}{\partial x} \right) = Q(x)} \quad (2.2)$$

### 3 Método de Elementos Finitos

Neste capítulo será descrito o método de elementos finitos para resolução de uma equação diferencial da forma:

$$-\frac{\partial}{\partial x} \left( k(x) \frac{\partial T(x)}{\partial x} \right) + q(x)T(t, x) = Q(x), \text{ para } 0 \leq x \leq 1 \quad (3.1)$$

As condições de contorno são  $T(0) = T(1) = 0$

Para resolver a equação em  $T(x, t)$ , pode-se utilizar o método de **Rayleigh-Ritz**, que consiste em uma técnica variacional que busca minimizar uma certa integral.

Uma função  $T(x, t)$  é a única solução para a equação 3.1 se e somente se  $T(x, t)$  é a única função que minimiza a integral:

$$I[u] = \int_0^1 k(x)[u'(x)]^2 + q(x)[u(x)]^2 - 2Q(x)u(x)dx \quad (3.2)$$

Define-se um subespaço de dimensão finita  $U_n$  de  $U_0$ , através da projeção ortogonal de  $u(x)$  em  $U_n$ . Para a escolha de  $U_n$  e sua base, usa-se o espaço de Splines Lineares  $S_{2,n}^0[0, 1]$  com nós uniformemente espaçados em  $[0, 1]$ . Tomando  $h = 1/(n + 1)$  e  $x_i = ih, i = 0, 1, \dots, n + 1$  tem-se que cada Spline é uma função contínua em  $[0, 1]$  que se anula nos extremos e coincide com uma reta entre cada dois nós.

Uma base para esse espaço de Splines é dada por funções:

$$\Phi_i(x) = \begin{cases} 0, \text{ fora de } [x_{i-1}, x_{i+1}] \\ \frac{x-x_{i-1}}{h} \text{ em } [x_{i-1}, x_i] \\ \frac{x_{i+1}-x_i}{h} \text{ em } [x_i, x_{i+1}] \end{cases} \quad (3.3)$$

E a derivada dessa função é dada por:

$$\Phi'_i(x) = \begin{cases} 0, \text{ fora de } [x_{i-1}, x_{i+1}] \\ \frac{1}{h} \text{ em } [x_{i-1}, x_i] \\ -\frac{1}{h} \text{ em } [x_i, x_{i+1}] \end{cases} \quad (3.4)$$

Visto isso, prova-se que uma aproximação da solução de  $T(t, x)$  que minimiza a integral apresentada é dada por  $T(x) = \sum_{i=1}^n c_i \Phi_i$ . Assim, as constantes  $c_1, c_2, \dots, c_n$  devem ser calculadas.

Para isso, é necessário utilizar o sistema linear  $\alpha c = \beta$ , em que  $\alpha$  é uma matriz tridiagonal com valores:

$$\alpha_{i,i} = D_{4,i} + D_{4,i+1} + D_{2,1} + D_{3,1} \text{ para cada } i = 1, 2, \dots, n; \quad (3.5)$$

$$\alpha_{i,i+1} = -D_{4,i+1} + D_{1,i} \text{ para cada } i = 1, 2, \dots, n-1; \quad (3.6)$$

$$\alpha_{i,i-1} = -D_{4,i} + D_{1,i-1} \text{ para cada } i = 2, 3, \dots, n; \quad (3.7)$$

e

$$\beta_i = D_{5,i} + D_{6,i} \text{ para cada } i = 1, 2, \dots, n; \quad (3.8)$$

Os coeficientes D, por sua vez, são calculados da seguinte forma:

$$\begin{cases} D_{1,i} = \left(\frac{1}{h_i}\right)^2 \int_{x_i}^{x_{i+1}} (x_{i+1} - x)(x - x_i)q(x)dx, & \text{para cada } i = 1, 2, \dots, n-1; \\ D_{2,i} = \left(\frac{1}{h_{i-1}}\right)^2 \int_{x_{i-1}}^{x_i} (x - x_{i-1})^2 q(x)dx, & \text{para cada } i = 1, 2, \dots, n; \\ D_{3,i} = \left(\frac{1}{h_i}\right)^2 \int_{x_i}^{x_{i+1}} (x_{i+1} - x)^2 q(x)dx, & \text{para cada } i = 1, 2, \dots, n; \\ D_{4,i} = \left(\frac{1}{h_{i-1}}\right)^2 \int_{x_{i-1}}^{x_i} k(x)dx, & \text{para cada } i = 1, 2, \dots, n+1; \\ D_{5,i} = \frac{1}{h_{i-1}} \int_{x_{i-1}}^{x_i} (x - x_{i-1})Q(x)dx, & \text{para cada } i = 1, 2, \dots, n; \\ D_{6,i} = \frac{1}{h_i} \int_{x_i}^{x_{i+1}} (x_{i+1} - x)Q(x)dx, & \text{para cada } i = 1, 2, \dots, n; \end{cases} \quad (3.9)$$

Com os coeficientes  $\alpha$  e  $\beta$  é possível montar o sistema de matrizes e calcular todos os coeficientes  $c$ , o que resulta no cálculo de  $T(x) = u(x) = \sum_{i=1}^n c_i \Phi_i$

### 3.1 Condições de contorno não-homogêneas

Para o caso em que  $T(0) = a$  e  $T(b) = b$ , pode-se reduzir o caso para:

$$Q(\bar{x}) = Q(x) + (b-a)k'(x) - q(x)(a + (b-a)x), v(0) = v(1) = 0 \quad (3.10)$$

Mostra-se que  $u(x) = v(x) + a + (b-a)x$  é solução da equação com condições de fronteira  $u(0) = a$  e  $u(1) = b$ .

Para isso, verifica-se que:

$$v(0) = 0 \Rightarrow u(0) = a \quad (3.11)$$

$$v(1) = 0 \Rightarrow u(1) = b \quad (3.12)$$

Assim, substituindo  $u(x)$  em  $L(u(x)) = (-k(x)u'(x))' + q(x)u(x) = Q(x)$ :

$$L(u(x)) = (-k(v' + (b-a)))' + q(v(x) + a + (b-a)x) \quad (3.13)$$

$$L(u(x)) = -(kv'(x))' + q(v(x)) - k'(x)(b-a) + q[a + (b-a)x] \quad (3.14)$$



Mas, se  $L(v(x)) = -(kv'(x) + q(v(x)))$  e  $L(u(x)) = Q(x)$ :

$$L(v(x)) = Q(x) + k'(x)(b - a) - q(x)[a + (b - a)x] \quad (3.15)$$

Essa é, portanto, a equação a ser resolvida, mostrando que  $u(x)$  é solução da equação 3.1 com condições de fronteira  $u(0) = a$  e  $u(1) = b$ .

## 4 Tarefa

A Tarefa consiste em implementar o método de elementos finitos para  $q(x) = 0$  e condições de contorno nas extremidades  $u(0) = a, u(L) = b$ . para isso, foi criada uma função 'fourier\_fem' que recebe como *inputs* as condições de contorno 'a' e 'b', 'L', 'n', 'q', 'Q<sub>ger</sub>', 'Q<sub>dis</sub>', em que define-se  $Q(x) = Q_{ger} - Q_{dis}$ .

### 4.1 Elaboração do código

O primeiro passo do código é definir as variáveis a serem calculadas, criando vetores vazios:

```
1 def fourier_fem(a,b,L,n,q,Q_ger,Q_dis,k):
2     h=L/(n+1)
3     f=lambda x: Q_ger(x)-Q_dis(x)
4     #x0=0, x_n+1=L
5     X=np.arange(0,L+h,h)
6     D_1,D_2,D_3,D_4,D_5,D_6=np.zeros(n-1),np.zeros(n),np.zeros(n),np.zeros(
n+1),np.zeros(n),np.zeros(n)
7     alfa1,alfa2,alfa0=np.zeros(n),np.zeros(n),np.zeros(n)
```

Feito isso, parte-se para o cálculo dos coeficientes  $D$ , que são necessários para os cálculos de  $\alpha$  e  $\beta$ . Para isso, faz-se necessário o cálculo de integrais, as quais foram calculadas pelo método de Gauss com a utilização do código criado para o **EP2**, com a função 'integracao\_gaussiana'.

```
1     for i in range(1,n):
2         D_1[i-1]=((1/h)**2)*integracao_gaussiana(X[i],X[i+1],lambda x: (X[i
+1]-x)*(x-X[i])*q(x))
3         D_2[i-1]=((1/h)**2)*integracao_gaussiana(X[i-1],X[i],lambda x: ((x-
X[i-1])**2)*q(x))
4         D_3[i-1]=((1/h)**2)*integracao_gaussiana(X[i],X[i+1],lambda x: ((X[
i+1]-x)**2)*q(x))
5         D_4[i-1]=((1/h)**2)*integracao_gaussiana(X[i-1],X[i],lambda x: k(x)
)
6         D_5[i-1]=(1/h)*integracao_gaussiana(X[i-1],X[i],lambda x: (x-X[i
-1])*f(x))
7         D_6[i-1]=(1/h)*integracao_gaussiana(X[i],X[i+1],lambda x: (X[i+1]-x
)*f(x))
```

Feito isso, parte-se para a determinação de  $\alpha$  e  $\beta$ :

```
1 def fourier_fem(a,b,L,n,q,Q_ger,Q_dis,k):
2     for i in range(1,n):
```

```

3     alfa1 [ i-1]=D_4[ i-1]+D_4[ i]+D_2[ i-1]+D_3[ i-1]
4     alfa2 [ i-1]=-D_4[ i]+D_1[ i-1]
5     #loop para i=2,3,...,n
6     alfa0 [ i]=-D_4[ i]+D_1[ i-1]
7     alfa0 [ 0]=0
8     alfa1 [ n-1]=D_4[ n-1]+D_4[ n]+D_2[ n-1]+D_3[ n-1]
9     alfa2 [ n-1]=0
10    beta=D_5+D_6

```

Com esses valores, torna-se possível resolver o sistema  $\alpha c = \beta$ , e, lembrando que  $\alpha$  é uma matriz tridiagonal, utiliza-se o código de resolução de sistemas criado para o **EP1**, com a função 'solucao\_sistema':

```

1 c=solucao_sistema ([ alfa0 , alfa1 , alfa2 ] , beta )

```

O último passo, é, portanto, calcular a soma  $\sum_{i=1}^n c_i \Phi_i$ :

```

1  for i in range(1,n+1):
2      #calcula phi_i
3      for j in range(1,n+1):
4          if X[ i]>X[ j-1] and X[ i]<=X[ j ]:
5              phi=(1/h)*(X[ i]-X[ j-1])
6          elif X[ i]>X[ j] and X[ i]<=X[ j+1]:
7              phi=(1/h)*(X[ j+1]-X[ i])
8          else:
9              phi=0
10         sum_phi[ i-1]+=c[ j-1]*phi
11         #Adicionar casos não homogêneos
12         sum_phi[ i-1]+=a+((b-a)/L)*X[ i]
13     sum_phi=np.insert (sum_phi,0,a)
14     sum_phi=np.insert (sum_phi,n+1,b)
15     return sum_phi

```

## 4.2 Validação

No primeiro passo do projeto, faz-se a validação do código criado com dois exemplos distintos.

O primeiro exercício recebe como *inputs*:

- $L = 1$
- $k(X) = 1$
- $q(x) = 0$
- $f(x) = Q(x) = 12x(1 - x) - 2$

E pede como resposta a solução numérica da equação diferencial do tipo 3.1 variando-se os passos do intervalo de integração para  $n = 7, 15, 31, 63$ .

Sabendo que a solução exata para o problema é  $u(x) = x^2(1 - x)^2$ , utilizou-se a função 'fourier\_fem' para o cálculo da solução numérica, e definiu-se como erro da função a diferença entre elas:

```

1  def validacao(N,a,b,L,q,Q_ger,Q_dis,k,u,str_sol_exata):
2      h_qua=np.zeros(len(N))
3      error=np.zeros(len(N))
4      X_exata=np.arange(0,L+0.01,0.01)
5      sol_plot=np.zeros(len(X_exata))
6      for l in range(len(X_exata)):
7          sol_plot[l]=u(X_exata[l])
8      for i in range(len(N)):
9          h=L/(N[i]+1)
10         sol_exata=np.zeros(N[i]+2)
11         X=np.arange(0,L+h,h)
12         h_qua[i]=(L/(N[i]+1))**2
13         sol_numerica=fourier_fem(a,b,L,N[i],q,Q_ger,Q_dis,k)
14         for j in range(0,N[i]+1):
15             sol_exata[j]=u(X[j])
16         error[i]=max(abs(sol_numerica-sol_exata))
17         plt.plot(X_exata,sol_plot,'-',label="Solução exata ($u(x)$)")
18         plt.plot(X,sol_numerica,'p',label="Solução numérica ($\overline{u}(x)$)")
19         plt.legend()
20         plt.title('Paridade da simulação e solução exata '+str_sol_exata+'
21         para n=%i'%N[i])
22         plt.xlabel('x')
23         plt.ylabel('Solução')
24         plt.grid()
25         plt.show()
26     plt.plot(h_qua,error,'-p')
27     plt.title('Erro da simulação para solução exata '+str_sol_exata,y=1.08)
28     plt.xlabel('$h^2$')
29     plt.ylabel('Erro')
30     plt.grid()
31     plt.show()

```

Por fim, plotou-se os gráficos da solução numérica e exata para  $n = 7, 15, 31, 63$ :

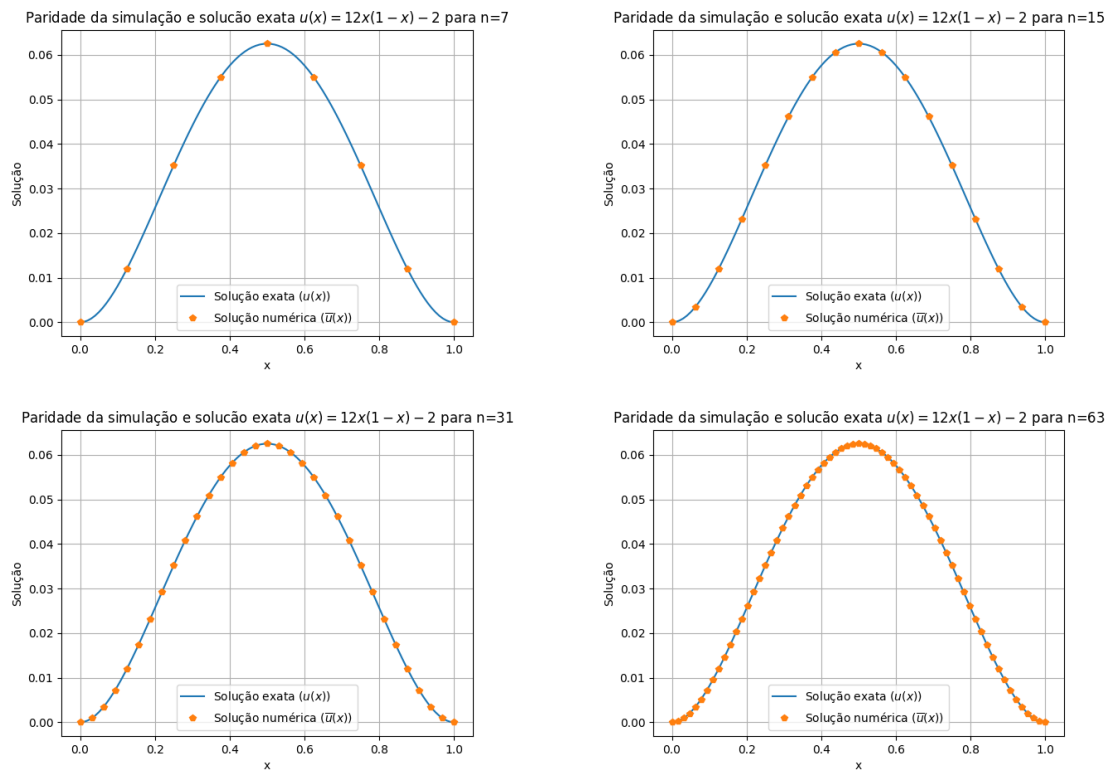


Figura 1 – Validação para  $f(x) = Q(x) = 12x(1 - x) - 2$

Depois, calculou-se o erro máximo entre a solução numérica e exata e plotou-se um gráfico das diferenças em relação ao passo elevado ao quadrado ( $h^2$ ):

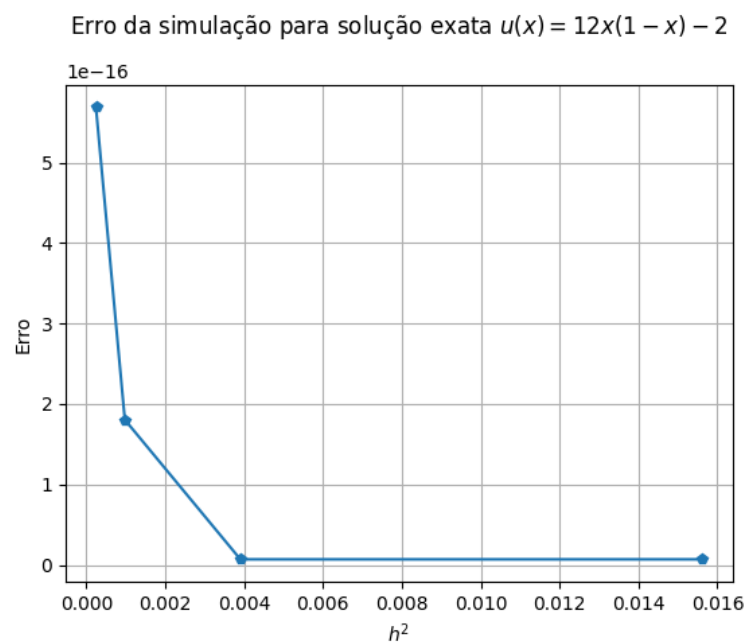


Figura 2 – Erro em função do passo

O segundo exercício recebe como *inputs*:

- $L = 1$
- $k(X) = e^x$
- $q(x) = 0$
- $f(x) = Q(x) = e^x + 1$

Sabendo que a solução exata é  $u(x) = (x - 1)(e^{-x} - 1)$  faz-se o mesmo processo que o anterior para  $n = 7, 15, 31, 63$ , de modo a se obter os gráficos:

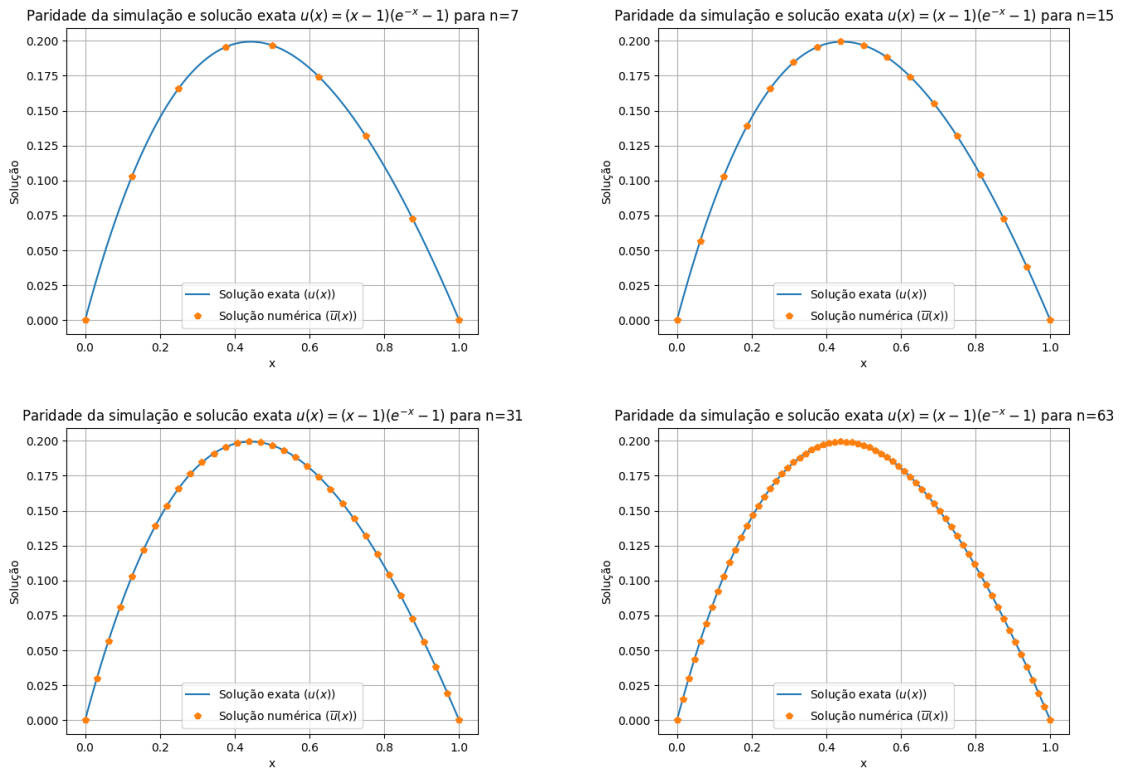


Figura 3 – Validação para  $f(x) = Q(x) = (x - 1)(e^{-x} - 1)$

Da mesma forma, o erro em função do passo ao quadrado ( $h^2$ ):

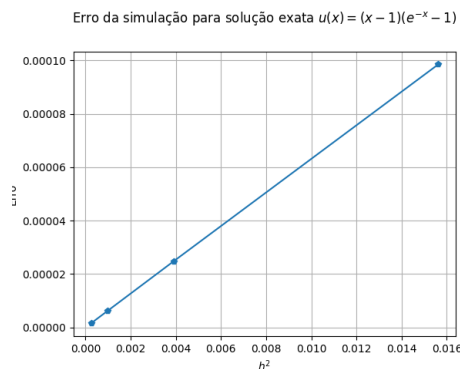


Figura 4 – Erro em função do passo

Assim, nota-se que no segundo exercício a convergência do método é de segunda ordem, uma vez que o erro varia linearmente com o quadrado do passo. No primeiro exercício, no entanto, isso não ocorre, o que pode estar atrelado ao fato do erro ser muito pequeno ( $10^{-16}$ ), na mesma ordem da precisão de cálculo de um computador.

### 4.3 Equilíbrio com forçantes de calor

Neste exercício, pede-se para calcular a distribuição de temperatura no chip considerando que ele é feito apenas de silício, ou seja,  $k(x) = k = 3,6W/(m \cdot K)$ . Para isso, alguns diferentes casos serão plotados variando-se a função do calor  $Q(x)$ .

#### 4.3.1 Caso 1: Sem resfriamento e $Q=\text{cte}$

O primeiro caso de estudo considera que não há resfriamento no chip ( $Q_- = 0$ ) e que o calor gerado no chip é constante e é dado por  $Q = P/V$ , sendo  $P$  a potência e  $V$  o volume.

Assim, para  $P = 30W$  e  $V = 8 \cdot 10^{-7}m^3$ , e condições de contorno nas extremidades  $T(0) = T(L) = 25^\circ C$ , obteve-se a distribuição de temperatura no chip:

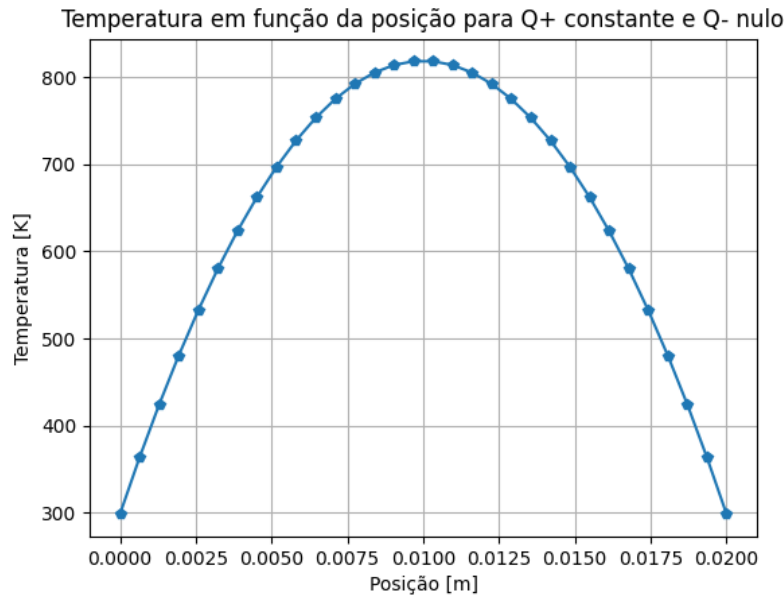


Figura 5 –  $T(x)$  para  $Q(x)$  constante e sem resfriamento

Nesse caso, retoma-se a equação:

$$-\frac{\partial}{\partial x} \left( k(x) \frac{\partial T(x)}{\partial x} \right) = Q(x) \quad (4.1)$$

Sendo  $k(x)$  e  $Q(x)$  constantes:

$$-k \frac{\partial^2 T(x)}{\partial x^2} = Q \Rightarrow \frac{\partial^2 T(x)}{\partial x^2} = -Q/k \quad (4.2)$$

Esse resultado indica que  $T(x)$  deve ser uma função quadrática, uma vez que sua segunda derivada é uma constante. Isso de fato é verificado no gráfico obtido, que apresenta um perfil parabólico de distribuição de temperaturas no interior do chip.

A temperatura é, portanto, mais alta no centro do chip, chegando ao patamar de  $T_{m\acute{a}x} \approx 540^\circ$ , enquanto as extremidades permanecem à temperatura ambiente.

### 4.3.2 Caso 2: Geração e dissipação de calor constantes

Agora, introduz-se o resfriamento do chip. Para isso, acrescenta-se um valor dissipado  $Q_-$  igual à metade do módulo de  $Q_+$ . O gráfico plotado fica, portanto:

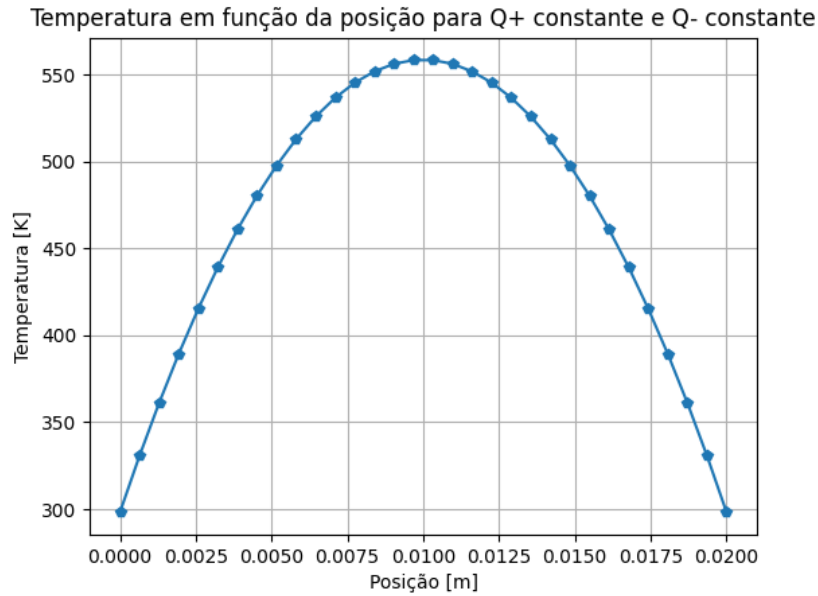


Figura 6 –  $T(x)$  para  $Q(x)$  constante

Percebe-se que a forma do gráfico é quadrática e exatamente a mesma do Caso 1, uma vez que a segunda derivada da temperatura se mantém constante com a posição. A única diferença é, portanto, na magnitude das temperaturas calculadas, que passou de  $T_{m\acute{a}x} \approx 820\text{ K}$  no Caso 1 para  $T_{m\acute{a}x} \approx 560\text{ K}$  no caso com resfriamento, ou seja, houve diminuição na temperatura interna do chip conforme o esperado.



### 4.3.3 Caso 3: Calor gerado dado por uma gaussiana e sem resfriamento

Desconsidera-se novamente o resfriamento do chip, mas agora é introduzida uma função para o calor gerado pelo chip. Tem-se:

$$\begin{cases} Q_+ = Q_+^0 e^{-(x-L/2)^2/\sigma^2} \\ Q_- = 0 \end{cases} \quad (4.3)$$

A função dada é uma Gaussiana, que representa que o chip esquenta mais no centro que nas bordas. Ainda,  $Q_+^0$  representa o calor gerado no centro do chip, ao qual atribuiu-se o valor  $Q_+^0 = 30/(8 \cdot 10^{-7})$ .

Por fim,  $\sigma$  controla a variação da geração de calor em torno da parte central. Optou-se por estudar sua influência na curva de temperatura plotando  $T(x)$  para  $\sigma^2 = 1$ ,  $\sigma^2 = 10^{-4}$  e  $\sigma^2 = 10^{-6}$ .

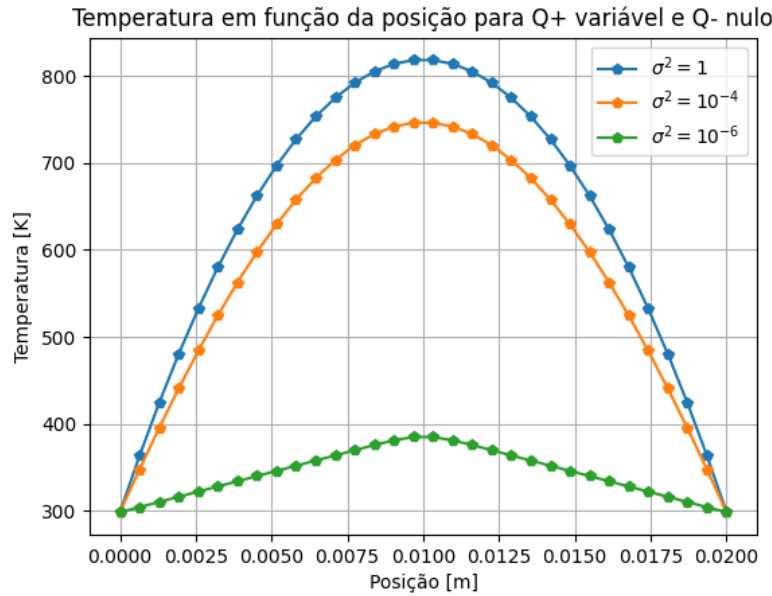


Figura 7 –  $T(x)$  para  $Q(x)$  gaussiano e sem resfriamento

Nesse caso, nota-se que quanto maior o valor de  $\sigma$ , maior a temperatura no centro do chip. Ainda, o aumento de  $\sigma$  aumenta também a concentração de temperatura mais ao centro que nas extremidades, conforme verifica-se nos gráficos.

### 4.3.4 Caso 4: Geração e dissipação de calor dados por gaussianas

Agora, introduz-se um refrigerador cuja dissipação de calor é dada por uma função também gaussiana, de forma que se tenha:

$$\begin{cases} Q_+ = Q_+^0 e^{-(x-L/2)^2/\sigma^2} \\ Q_- = Q_-^0 (e^{-(x^2)/\theta^2} + e^{-(x-L)^2/\theta^2}) \end{cases} \quad (4.4)$$

Primeiro, adotou-se  $\sigma^2 = 1$  e  $\theta^2 = 0.0005$  e o gráfico da temperatura obtido foi:

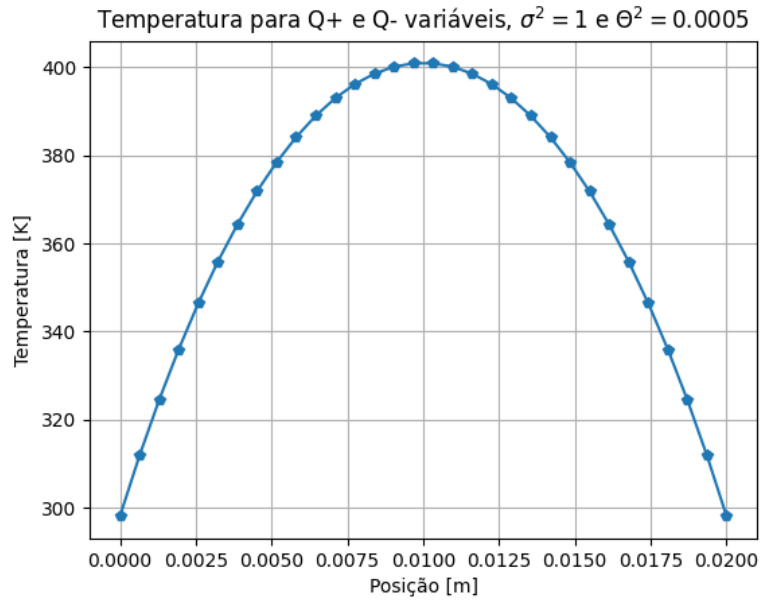


Figura 8 –  $T(x)$  para  $Q(x)$  gaussiano e com resfriamento

Percebe-se que para pequenos valores de  $\theta$ , o calor dissipado não é muito influente na curva de  $T(x)$ , que se assemelha aos casos de quando o resfriamento é dado por uma constante.

Mas, ao plotar o gráfico para  $\sigma^2 = 0.0005$  e  $\theta^2 = 1$ , nota-se que há uma maior dissipação na parte central do chip, tornando a temperatura nessas posições menores, o que altera o formato da curva:

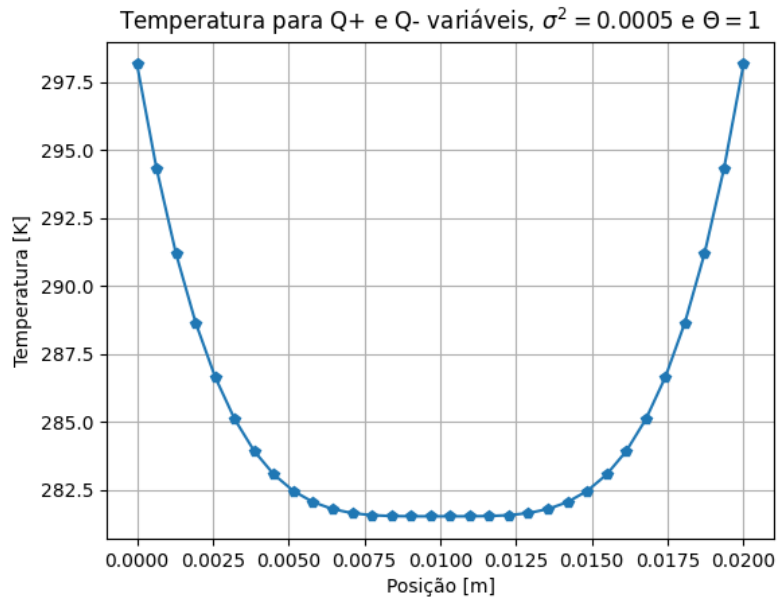


Figura 9 –  $T(x)$  para  $Q(x)$  gaussiano e com resfriamento

É notório que a dissipação de calor não acontece de forma natural, já que a temperatura final ficou menor que a determinada nas condições iniciais

## 4.4 Equilíbrio com variação de material

Por fim, estuda-se o caso em que o chip não é feito do mesmo material, ou seja,  $k(x)$  não é constante e depende da posição:

$$k(x) = \begin{cases} k_s & \text{para } \frac{L}{2} - d < x < \frac{L}{2} + d \\ k_a & \end{cases} \quad (4.5)$$

Para fazer a análise, considera-se um chip feito de silício ( $k_s = 3,6W/(m \cdot K)$ ) envolto por alumínio ( $k_a = 60W/(m \cdot K)$ ). Considerando  $d = 0.0025m$  e uma geração  $Q_+$  e dissipação  $Q_-$  constantes de calor. Desse modo, a distribuição de temperatura no chip fica:

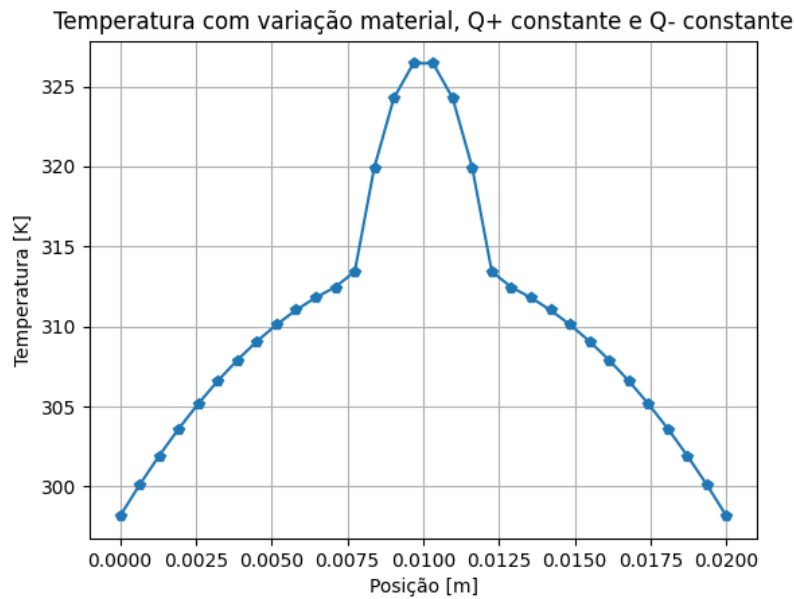


Figura 10 –  $T(x)$  com  $k(x)$  variável e  $Q(x)$  constante

Nota-se curvas bastantes distintas para o local em que o chip é envolto por alumínio, em que a temperatura é significativamente mais alta no centro, onde o material é silício. De fato, isso é esperado uma vez que a condutividade térmica do silício é mais baixa que a do alumínio, sendo mais sensível à mudança de temperatura quando exposto ao calor.

Da mesma forma, considerando o calor gerado e dissipado como funções gaussianas com  $\sigma^2 = 0.0005$  e  $\theta^2 = 1$ , obteve-se o gráfico:

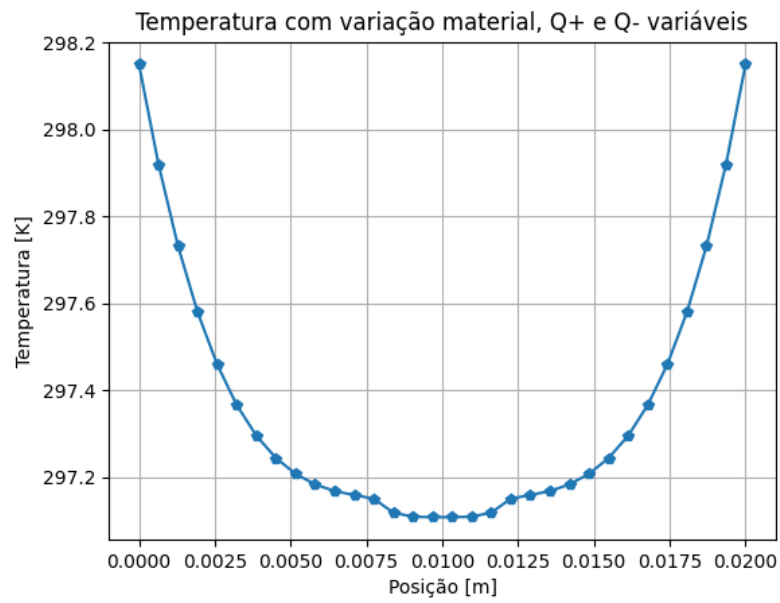


Figura 11 –  $T(x)$  com  $k(x)$  variável e  $Q(x)$  gaussiano

Nesse caso, como  $\theta \gg \sigma$ , o calor dissipado é alto e faz com que o chip possua temperatura menor que a inicial. Assim, o centro fica mais frio, ao contrário do que ocorreu no exemplo anterior, uma vez que a condutividade térmica no centro do chip é menor e, por isso, sofre maior variação de temperatura em contato com o calor.

## 5 Conclusão

Em coerência com o proposto pelo trabalho, foi possível produzir um código para resolução de uma equação diferencial, utilizando métodos numéricos. Durante o processo, o resultado obtido passou por uma validação em um caso que a solução real era conhecida. Assim, concluiu-se que o código apresenta um erro variável para cada caso, mas, de qualquer forma, pequeno em relação as grandezas do problema.

Além disso, com o código validado, realizou-se algumas simulações para encontrar a temperatura do chip em determinadas condições ambientais. Inicialmente, aplicou-se a simulação, que utiliza do método de elementos finitos, para resolver um caso em que a distribuição de calor é uniforme.

Em sequência, complexidade foi sendo adicionada gradativamente e os resultados permaneceram em coerência com o esperado. Nesse sentido, é imperativo concluir a efetividade da utilização dos métodos aplicados. Vale ressaltar somente, o fato de que para erros muito pequenos, na ordem de  $10^{-16}$ , um padrão quadrático não foi seguido, o que pode apontar para algum problema de arredondamento.

De qualquer forma, fica claro a ampla aplicação dos métodos usados para diversas outras áreas. O presente trabalho contou somente com a utilização para lei de Fourier, mas é possível aplicar também para cálculo estrutural em vigas flexionadas por exemplo.

Em suma, retoma-se a importância das ferramentas utilizadas na prática de engenharia, já que os métodos viabilizam a idealização de produtos ainda mais complexos e efetivos. Com isso, é possível cada vez mais superar problemas concretos da sociedade, utilizando a tecnologia.

## Apêndices

# APÊNDICE A – Código completo

```

1 import numpy as np
2 import matplotlib.pyplot as plt
3 def main():
4     print('Código desenvolvido por Giovanna Girotto NUSP: 11803416 e Vittor
      Braide Costa NUSP:11806920')
5     print('Para resolução do EP em questão, utilizou-se de três funções já
      criadas "decomposicao_LU", "solucao_sistema" desenvolvidas no EP1 e "
      integracao_gaussiana" desenvolvida no EP2')
6     print('No desenvolvimento do EP3, foram criadas as funções "fourier_fem
      " que corresponde a aplicação dos método dos elementos finitos, "
      validacao", para executar os dois exercícios de validação propostos no
      enunciado, e "plot_temp_pos" para plotar os gráficos Temperatura x Posiç
      ão')
7     print('A demonstração dos resultados ocorre assim como proposto no
      enunciado, em que são apresentados gráficos do erro em função de  $h^2$  e
      da Temperatura no chip adicionando-se complexidade para 3 diferentes
      casos')
8     #EXERCÍCIO DE VALIDAÇÃO
9     N=[7,15,31,63]
10    validacao(N,0,0,1,lambda x: 0, lambda x: np.exp(x)+1,lambda x:0,lambda
      x: np.exp(x),lambda x: (x-1)*(np.exp(-x)-1), '$u(x)=(x-1)(e^{-x}-1)$')
11    validacao(N,0,0,1,lambda x: 0, lambda x: 12*x*(1-x)-2,lambda x:0,lambda
      x: 1,lambda x: (x**2)*(1-x)**2, '$u(x)=12x(1-x)-2$')
12    #EXERCÍCIOS PARA K CONSTANTE
13    #CONDIÇÕES NAO HOMOGENEAS - L=20mm, n=100, k=3.6 W/mK a=b=293.15K, P=30
      W V=20*20*2 mm^3
14    #Caso 1 - Sendo  $Q_+$  e  $Q_-$  constantes
15    #Caso 1a -  $Q_+=P/V$  e  $Q_-=0$ 
16    L=0.02
17    n=30
18    k=3.6
19    T_caso_1a=fourier_fem(25+273.15,25+273.15,L,n,lambda x:0,lambda x
      :30/(8*(10**(-7))),lambda x:0,lambda x: k)
20    plot_temp_pos(L,n,[T_caso_1a], 'Temperatura em função da posição para  $Q_+$ 
      constante e  $Q_-$  nulo', '')
21
22    #Caso 1b -  $Q_+=P/V$  e  $Q_-=15/V$ 
23    T_caso_1b=fourier_fem(25+273.15,25+273.15,L,n,lambda x:0,lambda x
      :30/(8*(10**(-7))),lambda x: 15/(8*(10**(-7))),lambda x: k)
24    plot_temp_pos(L,n,[T_caso_1b], 'Temperatura em função da posição para  $Q_+$ 
      constante e  $Q_-$  constante', '')
25
26    #Caso 2 - Sendo  $Q_+$  dado pela expressão disponível no enunciado e  $Q_-$ 

```

```

nulo
27 Q0=30/(8*(10**(-7)))
28 T_caso_2a=fourier_fem(25+273.15,25+273.15,L,n,lambdax:0,lambdax: Q0*
np.exp(-((x-L/2)**2)/1),lambdax:0,lambdax: k)
29 T_caso_2b=fourier_fem(25+273.15,25+273.15,L,n,lambdax:0,lambdax: Q0*
np.exp(-((x-L/2)**2)/(10**(-4))),lambdax:0,lambdax: k)
30 T_caso_2c=fourier_fem(25+273.15,25+273.15,L,n,lambdax:0,lambdax: Q0*
np.exp(-((x-L/2)**2)/(10**(-6))),lambdax:0,lambdax: k)
31 plot_temp_pos(L,n,[T_caso_2a,T_caso_2b,T_caso_2c], 'Temperatura em função
da posição para Q+ variável e Q- nulo', ['$\sigma^2=1$', '$\sigma
^2=10^{-4}$', '$\sigma^2=10^{-6}$'])
32
33 #Caso 3 – Q+ e Q- dados pelo expressão disponível no enunciado
34 Q0_pos=30/(8*(10**(-7)))
35 Q0_neg=15/(8*(10**(-7)))
36 theta_qua=0.0005
37 s_qua=1
38 Q_ger=lambdax: Q0_pos*np.exp(-((x-L/2)**2)/s_qua)
39 Q_dis=lambdax: Q0_neg*(np.exp(-((x)**2/theta_qua))+np.exp(-((x-L)**2)/
theta_qua))
40 T_caso_3a=fourier_fem(25+273.15,25+273.15,L,n,lambdax:0,Q_ger,Q_dis,
lambdax: k)
41 plot_temp_pos(L,n,[T_caso_3a], 'Temperatura para Q+ e Q- variáveis, $
\sigma^2=1$ e $ \Theta^2=0.0005$', '')
42 theta_qua=1
43 s_qua=0.0005
44 T_caso_3b=fourier_fem(25+273.15,25+273.15,L,n,lambdax:0,Q_ger,Q_dis,
lambdax: k)
45 plot_temp_pos(L,n,[T_caso_3b], 'Temperatura para Q+ e Q- variáveis, $
\sigma^2=0.0005$ e $ \Theta=1$', '')
46
47 #PROBLEMA COM K VARIÁVEL
48 #Caso 1 – Q+ constante e Q- constante
49 ks=3.6
50 ka=60
51 d=0.0025
52 T_k_variavel1=fourier_fem(25+273.15,25+273.15,L,n,lambdax:0,lambdax
:30/(8*(10**(-7))),lambdax:15/(8*(10**(-7))),lambdax: ks if L/2-d<x<L
/2+d else ka)
53 plot_temp_pos(L,n,[T_k_variavel1], 'Temperatura com variação material, Q
+ constante e Q- constante', '')
54 #Caso 2 – Q+ dado pelo enunciado e Q- constante
55 s_qua=10**(-4)
56 Q_ger=lambdax: Q0_pos*np.exp(-((x-L/2)**2)/s_qua)
57 T_k_variavel2=fourier_fem(25+273.15,25+273.15,L,n,lambdax:0,Q_ger,
lambdax:15/(8*(10**(-7))),lambdax: ks if L/2-d<x<L/2+d else ka)
58 plot_temp_pos(L,n,[T_k_variavel2], 'Temperatura com variação material, Q

```



```

+ variável e Q- constante', '')
59 #Caso 3 - Q+ e Q- dados pelo enunciado
60 theta_qua=1
61 s_qua=0.0005
62 Q_ger=lambda x: Q0_pos*np.exp(-((x-L/2)**2)/s_qua)
63 Q_dis=lambda x: Q0_neg*(np.exp(-((x)**2/theta_qua))+np.exp(-((x-L)**2)/
theta_qua))
64 T_k_variavel3=fourier_fem(25+273.15,25+273.15,L,n,lambda x:0,Q_ger,
Q_dis,lambda x: ks if L/2-d<x<L/2+d else ka)
65 plot_temp_pos(L,n,[T_k_variavel3], 'Temperatura com variação material, Q
+ e Q- variáveis', '')
66
67
68 def fourier_fem(a,b,L,n,q,Q_ger,Q_dis,k):
69     h=L/(n+1)
70     f=lambda x: Q_ger(x)-Q_dis(x)
71     #x0=0, x_n+1=L
72     X=np.arange(0,L+h,h)
73     D_1,D_2,D_3,D_4,D_5,D_6=np.zeros(n-1),np.zeros(n),np.zeros(n),np.zeros(
n+1),np.zeros(n),np.zeros(n)
74     alfa1, alfa2, alfa0=np.zeros(n),np.zeros(n),np.zeros(n)
75     #Definindo Q2,n; Q3,n; Q4,n; Q4,n+1; Q5,n; Q6,n
76     D_2[n-1]=((1/h)**2)*integracao_gaussiana(X[n-1],X[n],lambda x: ((x-X[n
-1])**2)*q(x))
77     D_3[n-1]=((1/h)**2)*integracao_gaussiana(X[n],X[n+1],lambda x: ((X[n
+1]-x)**2)*q(x))
78     D_4[n-1]=((1/h)**2)*integracao_gaussiana(X[n-1],X[n],lambda x: k(x))
79     D_4[n]=((1/h)**2)*integracao_gaussiana(X[n],X[n+1],lambda x: k(x))
80     D_5[n-1]=(1/h)*integracao_gaussiana(X[n-1],X[n],lambda x: (x-X[n-1])*f(
x))
81     D_6[n-1]=(1/h)*integracao_gaussiana(X[n],X[n+1],lambda x: (X[n+1]-x)*f(
x))
82     #Definindo Q1,n; Q2,i; Q3,n; Q4,n; Q5,n; Q6,n;
83     #X[i] tem uma peculiaridade já que existe X[0]
84     for i in range(1,n):
85         D_1[i-1]=((1/h)**2)*integracao_gaussiana(X[i],X[i+1],lambda x: (X[i
+1]-x)*(x-X[i])*q(x))
86         D_2[i-1]=((1/h)**2)*integracao_gaussiana(X[i-1],X[i],lambda x: ((x-
X[i-1])**2)*q(x))
87         D_3[i-1]=((1/h)**2)*integracao_gaussiana(X[i],X[i+1],lambda x: ((X[
i+1]-x)**2)*q(x))
88         D_4[i-1]=((1/h)**2)*integracao_gaussiana(X[i-1],X[i],lambda x: k(x)
)
89         D_5[i-1]=(1/h)*integracao_gaussiana(X[i-1],X[i],lambda x: (x-X[i
-1])*f(x))
90         D_6[i-1]=(1/h)*integracao_gaussiana(X[i],X[i+1],lambda x: (X[i+1]-x
)*f(x))

```

```

91     for i in range(1,n):
92         alfa1[i-1]=D_4[i-1]+D_4[i]+D_2[i-1]+D_3[i-1]
93         alfa2[i-1]=-D_4[i]+D_1[i-1]
94         #loop para i=2,3,...,n
95         alfa0[i]=-D_4[i]+D_1[i-1]
96     alfa0[0]=0
97     alfa1[n-1]=D_4[n-1]+D_4[n]+D_2[n-1]+D_3[n-1]
98     alfa2[n-1]=0
99     beta=D_5+D_6
100    c=solucao_sistema([alfa0, alfa1, alfa2], beta)
101    sum_phi=np.zeros(n)
102    for i in range(1,n+1):
103        #calcula phi_i
104        for j in range(1,n+1):
105            if X[i]>X[j-1] and X[i]<=X[j]:
106                phi=(1/h)*(X[i]-X[j-1])
107            elif X[i]>X[j] and X[i]<=X[j+1]:
108                phi=(1/h)*(X[j+1]-X[i])
109            else:
110                phi=0
111            sum_phi[i-1]+=c[j-1]*phi
112        #Adicionar casos não homogêneos
113        sum_phi[i-1]+=a+((b-a)/L)*X[i]
114    sum_phi=np.insert(sum_phi,0,a)
115    sum_phi=np.insert(sum_phi,n+1,b)
116    return sum_phi
117
118 def validacao(N,a,b,L,q,Q_ger,Q_dis,k,u,str_sol_exata):
119     h_qua=np.zeros(len(N))
120     error=np.zeros(len(N))
121     X_exata=np.arange(0,L+0.01,0.01)
122     sol_plot=np.zeros(len(X_exata))
123     for l in range(len(X_exata)):
124         sol_plot[l]=u(X_exata[l])
125     for i in range(len(N)):
126         h=L/(N[i]+1)
127         sol_exata=np.zeros(N[i]+2)
128         X=np.arange(0,L+h,h)
129         h_qua[i]=(L/(N[i]+1))**2
130         sol_numerica=fourier_fem(a,b,L,N[i],q,Q_ger,Q_dis,k)
131         for j in range(0,N[i]+1):
132             sol_exata[j]=u(X[j])
133         error[i]=max(abs(sol_numerica-sol_exata))
134         plt.plot(X_exata,sol_plot,'-',label="Solução exata ($u(x)$)")
135         plt.plot(X,sol_numerica,'p',label="Solução numérica ($\overline{u}(x)$)")
136     plt.legend()

```

```

137     plt.title('Paridade da simulação e solução exata '+str_sol_exata+'
para n=%i'%N[i])
138     plt.xlabel('x')
139     plt.ylabel('Solução')
140     plt.grid()
141     plt.show()
142     plt.plot(h_qua, error, '-p')
143     plt.title('Erro da simulação para solução exata '+str_sol_exata+', y=1.08)
144     plt.xlabel('$h^2$')
145     plt.ylabel('Erro')
146     plt.grid()
147     plt.show()
148
149 def plot_temp_pos(L,n,T, title ,legenda):
150     h=L/(n+1)
151     X=np.arange(0,L+h,h)
152     if len(T)>1:
153         for i in range(len(T)):
154             plt.plot(X,T[i], '-p', label=legenda[i])
155             plt.legend()
156     else:
157         plt.plot(X,T[0], '-p')
158     plt.title(title)
159     plt.xlabel('Posição [m]')
160     plt.ylabel('Temperatura [K]')
161     plt.grid()
162     plt.show()
163
164 def decomposicaoLU(A):
165     a,b,c=A[0],A[1],A[2]
166     U,L=np.zeros(len(A[0])),np.zeros(len(A[0])) #cria os vetores U e L
vazios
167     #Valores iniciais
168     U[0]=b[0]
169     L[0]=1
170     #Laço para encontrar L,U, assim como disponibilizado no enunciado
171     for i in range(1,len(A[0])):
172         L[i]=a[i]/U[i-1]
173         U[i]=b[i]-L[i]*c[i-1]
174     return L,U
175
176 def solucao_sistema(A,d):
177     LU=decomposicaoLU(A)
178     L,U=LU[0],LU[1]
179     x,y=np.zeros(len(d)),np.zeros(len(d)) #cria os vetores x e y vazios
180     y[0]=d[0]
181     for i in range(1,len(d)):

```

```
182     y[i]=d[i]-L[i]*y[i-1]
183     x[len(d)-1]=y[len(d)-1]/U[len(d)-1]
184     for i in range(len(d)-2,-1,-1):
185         x[i]=(y[i]-A[2][i]*x[i+1])/U[i]
186     return x
187
188 def integracao_gaussiana(a,b,f):
189     W=(1,1) #pesos
190     p=(-1/(np.sqrt(3)),1/(np.sqrt(3))) #nós
191     n=2
192     I1=0
193     for i in range(n):
194         x=((b-a)*p[i]+(a+b))/2
195         u=(b-a)*W[i]/2
196         I1+=u*f(x)
197     return I1
198 main()
```